# Analog Engineer's Circuit

# 在RTD 测量中保护 ADC ADS124S08 免受 EOS 影响的电路

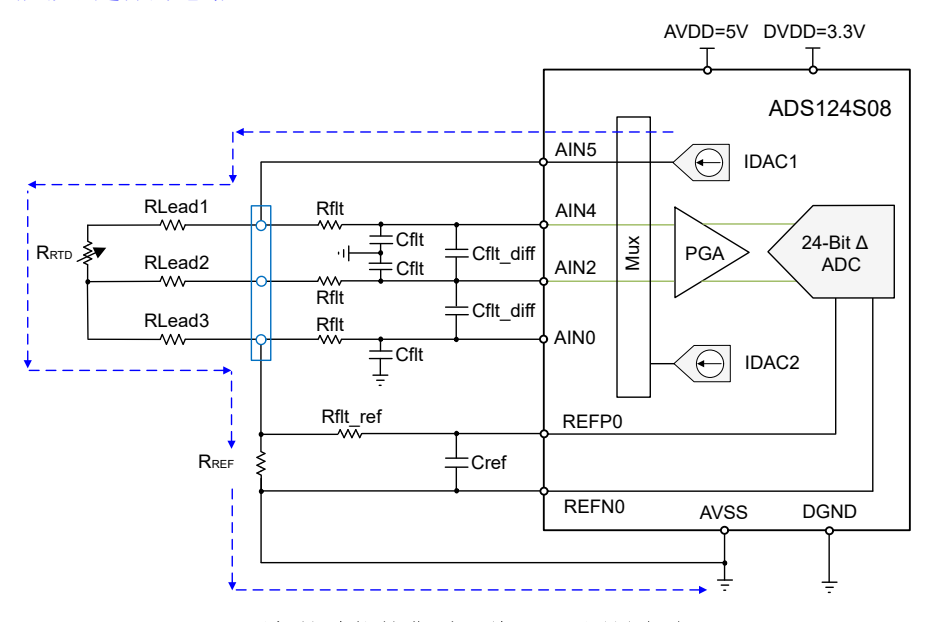


Data Converters Dale Li

规	格	最小值	最大值
过应力信号	电压 (V <sub>EOS</sub> )	-30V	+30V
绝对最大输入电压额定值 - ADC	电压 - 模拟输入 (Vin_Abs)	AVSS - 0.3V	AVDD + 0.3V
( AVDD = 5V , AVSS = 0V )	电流 - 模拟输入 (I <sub>in_Abs</sub> )	-10mA	+10mA

#### 设计说明

此电路展示了一种解决方案,用于在电阻式温度检测器 (RTD) 应用中保护 Δ-Σ ADC ADS124S08 免受电过应力 (EOS) 的影响。该保护电路旨在针对 ±30V 直流连续故障和更高瞬态故障提供保护。如果输入端子意外连接到直流电源,则需要针对 ±30V 直流故障提供保护。±24V 是工业系统中的标准直流电源,因此 ±30V 保护可提供一定的设计裕度。该解决方案专为使用 PT100 RTD 传感器的 3 线 RTD 输入而开发,但该保护方法同样适用于 2 线、4 线 RTD 输入和 PT1000 RTD 传感器。该保护电路包括一个外部瞬态电压抑制器 (TVS) 二极管和一个限流电阻器,用于实现针对过应力信号的外部保护钳位,并将对测量精度的影响保持在最低水平。该电路在工厂自动化和控制系统内 可编程逻辑控制器 的温度控制器和模拟输入模块中非常实用。有关保护高压 SAR ADC 免受电过应力影响的信息,请参阅采用 TVS 二极管的高电压 ADC 电路输入保护和通过 TVS 二极管和 PTC 保险丝保护 ADC 的电路 电路设计。有关保护低压 SAR ADC 免受电过应力影响的信息,请参阅用于保护低压 SAR ADC 免受电过应力影响的信息,请参阅用于保护低压 SAR ADC 免受电过应力影响自想的电路。



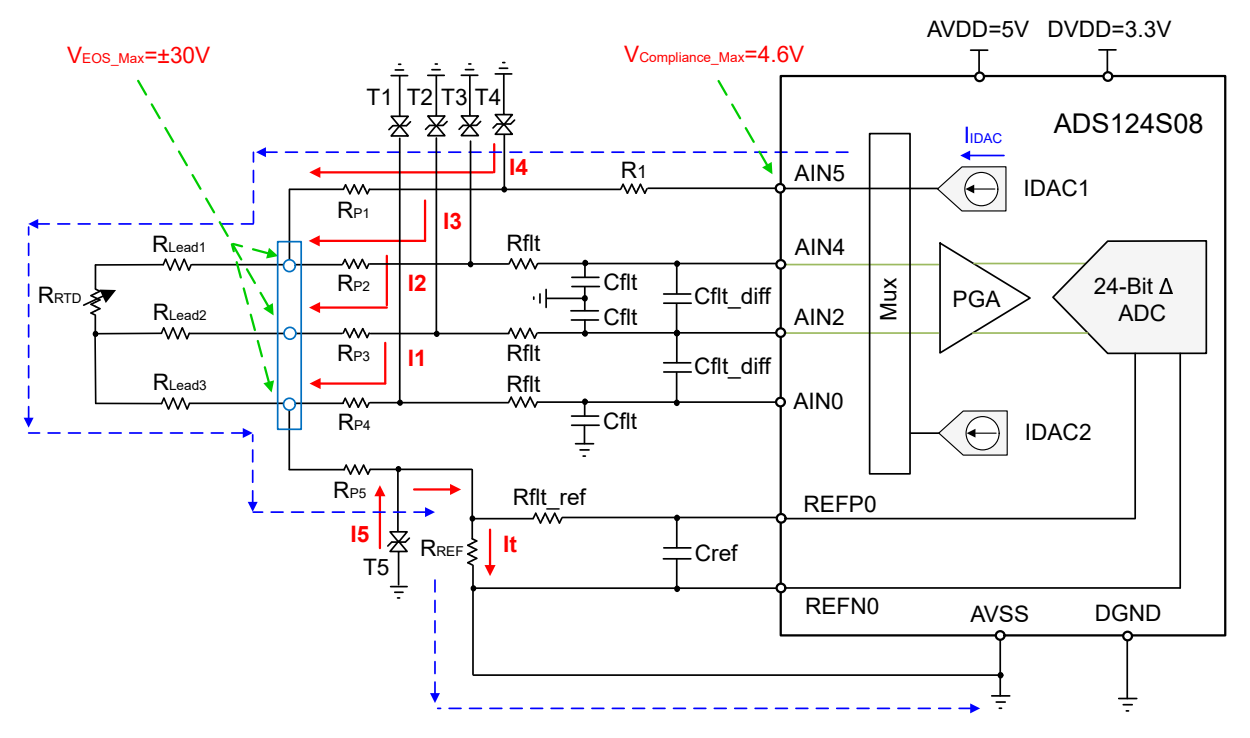
无保护功能的典型 3 线 RTD 测量电路

#### 设计目标

系统规格	目标值	测得值
过应力电压	±30V	ADS124S08 上无损坏
精度(未经校准,-40°C至85°C)	±0.5%	< ±0.05%

#### 设计说明

- 1. 通过考虑以下因素,我们选择了 Bourns® 的双向 TVS 二极管 SMBJ14CA 来保护 ADS124S08 的每个输入免 受电过应力信号的影响:
  - 选择 SMBJ 系列 TVS 二极管,以确保适当的封装尺寸和 600W 功率耗散能力
  - 选择双向 14V 关断电压,以将限流电阻上的功率耗散降至最低
- 2. 限流电阻器  $R_{P1}$ 、 $R_{P2}$ 、 $R_{P3}$ 、 $R_{P4}$  和  $R_{P5}$  用于限制故障电流,以保护 TVS 二极管和 ADC,并且通过选择合适的电阻值,还有助于钳制二极管上的输入过应力信号。 $R_{P2}$ 、 $R_{P3}$ 、 $R_{P4}$  和  $R_{P5}$  的高电阻值与  $R_{P1}$  的电阻值完全相同,以避免 TVS 二极管漏电流流经这些电阻时由电阻失配引起的任何额外误差。请注意,在*保护 ADC 免受电过应力影响的输入保护电路* 中, $R_{Lead1}$ 、 $R_{Lead2}$  和  $R_{Lead3}$  代表等效的引线电阻。
- 3. 确保差分电容器的电容值大于或等于共模电容器电容值的 10 倍。确保差分滤波器的带宽大于或等于数据速率的 10 倍。
- 4. 请参阅"TI高精度实验室-ADC"中的"数据转换器上的电过应力"视频系列。此视频系列详细讨论了不同类型数据转换器的保护解决方案,包括理论说明、二极管选择、限流电阻器选择和测试结果。



保护 ADC 免受电过应力影响的输入保护电路

#### 元件选型

- 1. ADC 输入电压范围设置为导通内部 ESD 二极管之前的最大电压 (V<sub>in\_Abs</sub>)。输入电流范围是内部 ESD 二极管可连续支持的最大电流。
- 2. 当 AVDD 为 5V 时,ADS124S08 上的最大电压为 5.3V,因此任何高于 5.3V 的正电过应力信号都应受到钳位,以保护 ADS124S08 的输入。此解决方案中选择了双向 TVS 二极管 SMBJ14CA 来保护 ADC 免受电过应力信号的影响。该二极管将在 15.6V 至 17.9V 之间击穿并可限制输入电压。该电压电平超过 ADC 的绝对最大值,但限流电阻器与内部 ESD 二极管 ADS124S08S 将保护器件。

器件型号	MFG	反向关断电	长断电 击穿电压 (V <sub>BR</sub> )		最大钳位电压	反向漏电流	峰值脉冲电	峰值功率耗散	稳态功率耗散
		压 (V <sub>R</sub> )	最小值	最大值	(I <sub>PP</sub> 时的 V <sub>C</sub> )	最大值 (V <sub>R</sub> 时的	流 (I <sub>PP</sub> )	(P <sub>PP</sub> )	(P <sub>PP</sub> )
						I <sub>R</sub> )			
SMBJ14CA	Bourns	14V	15.6	17.9	23.2V	1 µ A	25.9A	600W	5W

3. 此设计展示了适用于单路 IDAC 电流、低侧外部基准和 3 线 RTD 测量的保护解决方案。IDAC 通道 AIN5 中的限流电阻器 R<sub>P1</sub> 更为关键,因为 AIN5 引脚上的节点电压受限于最大顺从电压,而对于 5V AVDD 电源,最大顺从电压为 4.6V。R<sub>P1</sub> 和 R<sub>1</sub> 的高电阻值有助于限制故障电流并在故障条件下保护 ADC;但是,这些电阻器的高电阻值会在正常运行时增加 AIN5 引脚上的电压,从而导致超出顺从电压。该保护解决方案旨在防止将±24V 电源误接线到 RTD 测量电路输入端而导致对 ADC 的损坏,同时考虑设计裕度,故障信号上限设定为±30V。ADS124S08 的绝对最大输入电流额定值为±10mA,因此为了留出裕度,设计中采用了 ±5mA 的电流来限制流入 ADC 输入的电流,并将通过 R<sub>P1</sub> 的总故障电流限制为±25mA。

EOS 故	EOS 故障电压		ADC 输入电压(绝对) ADC 输		ADC 输入电流		电流
V <sub>EOS_max</sub>	+30V	V <sub>in_max</sub>	+5.3V	I <sub>ADC_max</sub>	+5mA	I <sub>fault_max</sub>	+25mA
V <sub>EOS_min</sub>	-30V	V <sub>in_min</sub>	-0.3V	I <sub>ADC_min</sub>	-5mA	I <sub>fault_min</sub>	-25mA

R<sub>P1</sub> 和 R<sub>1</sub> 由以下公式中的最大电阻值确定:

对于 +30V 正过应力电压:

$$R_{P1} \ge \frac{V_{EOS\_max} - V_{BR\_min}}{I_{fault\_max}} = \frac{30 V - 15.6 V}{25 mA} = 576 \Omega$$
 (round up to standard 590  $\Omega$ )

$$R_1 \ge \frac{V_{BR\_min} - V_{in\_max}}{I_{ADC\_max}} = \frac{15.6 \, V - 5.3 \, V}{5 \, mA} = 2.06 \, k\Omega \, \left( \text{round up to standard } 2.2 \, k\Omega \right)$$

对于 - 30V 负过应力电压:

$$R_{P1} \ge \frac{V_{EOS\_min} - \left(-V_{BR\_min}\right)}{I_{fault\_min}} = \frac{-30 \ V - \left(-15.6 \ V\right)}{-25 \ mA} = 576 \ \Omega \ \left(\text{round up to standard } 590 \ \Omega\right)$$

$$R_1 \ge \frac{-V_{BR\_min} - V_{in\_max}}{I_{ADC\_min}} = \frac{-15.6 \, V - (-0.3 \, V)}{-5 \, mA} = 3.06 \, k\Omega \, \left(\text{round up to standard } 3.4 \, k\Omega\right)$$

为  $R_1$  选择 3.4k Ω 的较大电阻器, 并为  $R_{P1}$  选择 590 Ω 的电阻器。

以下公式计算了负电过应力故障事件(这是这些电阻器的最坏情况)期间  $R_1$  和  $R_{P1}$  上耗散的功率。目标是确保为电阻器  $R_1$  和  $R_{P1}$  选择正确的额定功率。

$$P_{RP1} = \frac{\left(V_{EOS\_min} - \left(-V_{BR\_min}\right)\right)^2}{R_{P1}} = \frac{\left(-30 \, V - \left(-15.6 \, V\right)\right)^2}{590 \, \Omega} = 351 \, mW$$

因此,为 R<sub>P1</sub> 选择了 0.5W 的 P<sub>RP1</sub>,确保有额外的设计裕度。



$$P_{R1} = \frac{\left(-V_{BR\_min} - V_{in\_min}\right)^2}{R_1} = \frac{\left(-15.6 \, V - \left(-0.3 \, V\right)\right)^2}{3.4 \, k\Omega} = 68.85 \, mW$$

因此,为  $R_1$  选择了 0.1W 的  $P_{R1}$  , 确保有额外的设计裕度。

4. - 200°C 时,PT100 传感器的电阻约为 20 Ω,而在 +850°C 时则为 400 Ω。R<sub>REF</sub> 的电阻由 I<sub>IDAC</sub> 电流流经 PT100 时 PT100 两端的最大电压 (R<sub>RTD</sub>) 决定。为了尽量降低由 PT100 上自热造成的误差,这里选择并配置 了来自 AIN5 的 0.5mA 单 I<sub>IDAC</sub> 电流。ADS124S08 上的 PGA 设置为 4。R<sub>REF</sub> 上的最小电压 (V<sub>REF\_min</sub>) 可通 过以下公式计算:

$$V_{RTD\_max} = I_{IDAC} \times R_{RTD\_max} = 0.5 \text{ mA} \times 400 \Omega = 0.2 \text{ V}$$

$$V_{REF\_min} = V_{RTD\_max} \times Gain = 0.2 V \times 4 = 0.8 V$$

R<sub>REF</sub> 上的电压 (V<sub>REF</sub>) 设置为 1V 以确保有一定的裕度。R<sub>REF</sub> 的电阻由以下公式确定:

$$R_{REF} = \frac{V_{REF}}{I_{DAC}} = \frac{1 V}{0.5 mA} = 2 k\Omega$$

5. 输入电阻器与其他通道中的差分和共模电容器并联,用于滤除前端电路的噪声。确切的电阻值并不重要,因为这些通道上没有顺从电压限制,并且没有 IDAC 电流流过它。

$$R_{flt} > R_1 = 3.4 k\Omega$$

$$R_{flt} < 10 \ k\Omega$$

$$\Rightarrow R_{flt} = 4.99 k\Omega$$

$$f_{in\ Diff} > 10 \times Data\_Rate$$

$$Data_Rate = 200 Hz$$

$$\Rightarrow f_{in\ Diff} = 3 \ kHz$$

$$C_{flt\_diff} = \frac{1}{2\pi \times f_{in \ diff} \times (R_{RTD} + 2 \times R_{flt} + 2 \times R_P)}$$

$$= \frac{1}{2\pi \times 3 \ kHz \times (400 \ \Omega + 2 \times 4.99 \ k\Omega + 2 \times 590 \ \Omega)} = 4.6 \ nF$$

因此,为 Cflt diff 选择了标准值 4.7nF。

$$C_{flt} = \frac{C_{flt\_diff}}{10} = \frac{4.7 \, nF}{10} = 470 \, pF$$

$$C_{ref} = C_{flt} = 470 \, pF$$

$$R_{flt\_ref} = R_{flt} = 4.99 \, k\Omega$$



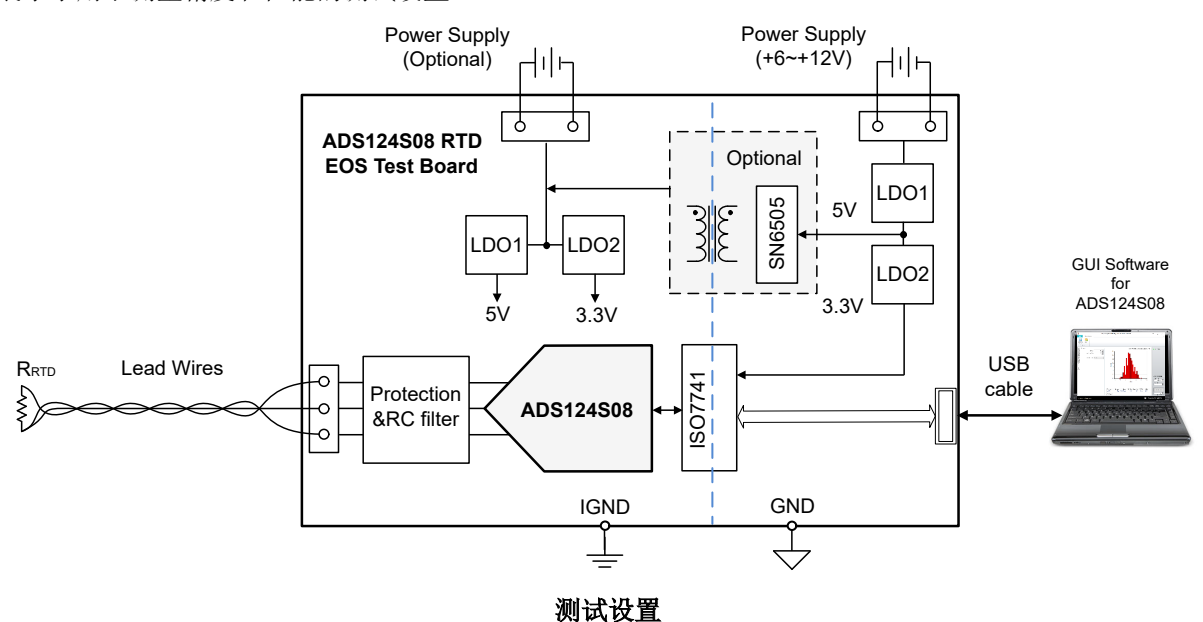
#### 在硬件上测得的精度

具有输入保护电路的 ADS124S08 测试板 展示了用于 RTD 测量的 ADS124S08 EOS 测试硬件板,该板采用了 Bourns 的 TVS 二极管 SMBJ14CA 和德州仪器 (TI) 的双向 TVS 二极管 TVS1401 进行保护。测试板上的隔离式电源和数字通信电路专为 EMC(电磁兼容性)测试而设计,本文档并未涉及这些测试。该测试板采用板载 TM4C1294NCPDT Tiva™ Arm® 处理器,通过串行外设接口 (SPI) 与 ADC 通信,并通过通用串行总线 (USB) 接口与 PC 通信。该软件包括从 EVM 工具页面下载  $\Delta$ - $\Sigma$  ADC 评估软件安装程序和 ADS124S08 器件软件包安装程序,用于从 ADC 收集转换数据并检查性能。



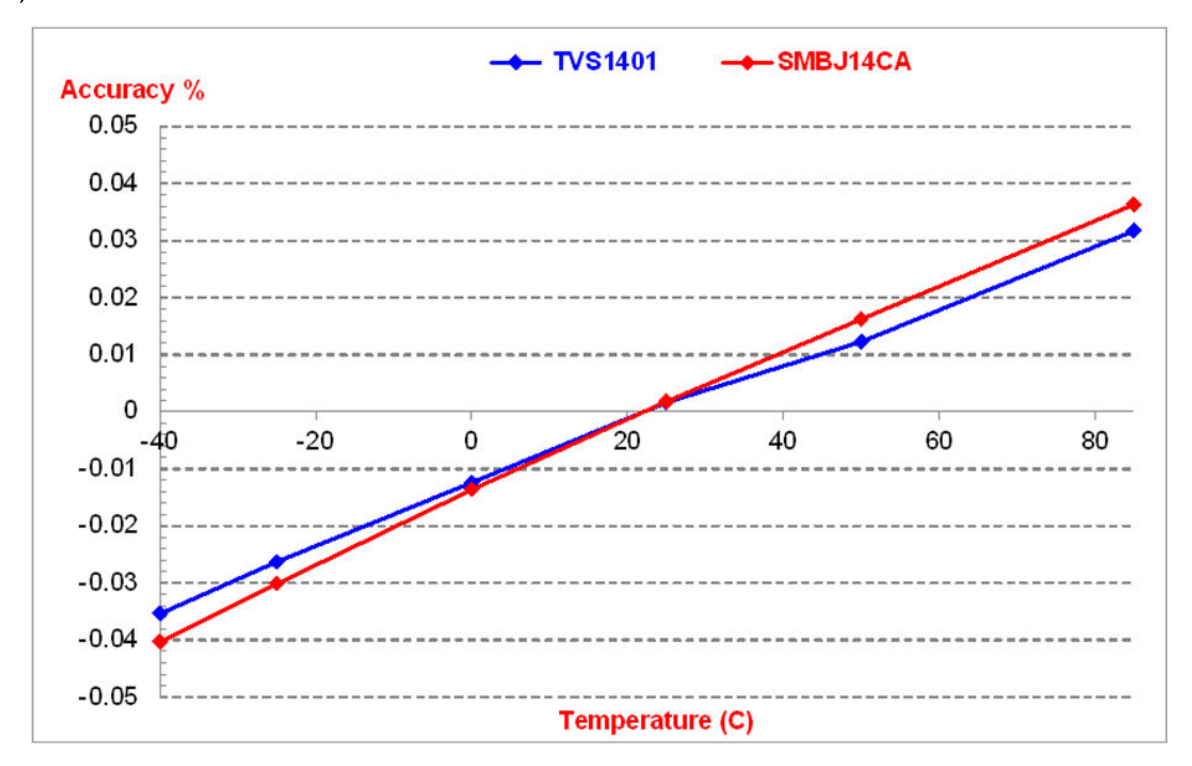
具有输入保护电路的 ADS124S08 测试板

下图展示了用于测量精度和性能的测试设置。

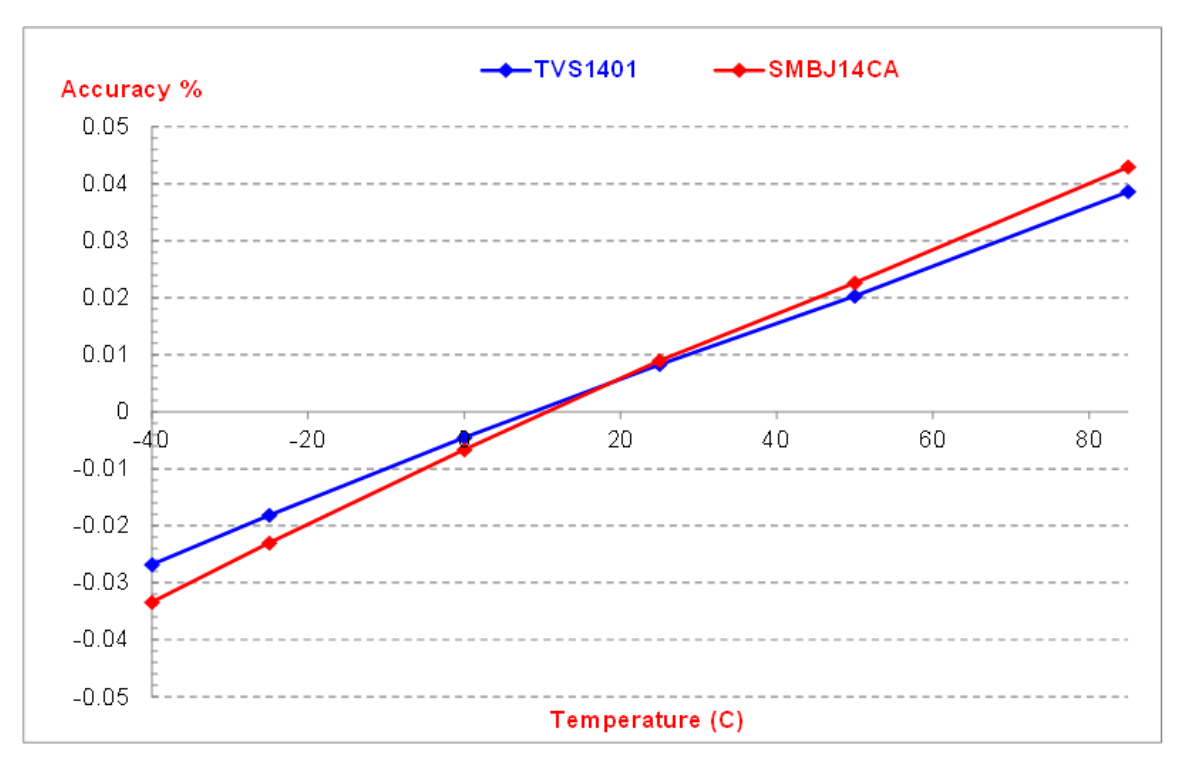


接下来的几个图像展示了在从 - 40°C 到 +85°C 的环境温度范围内测量的满标度和零标度 RTD 值的精度性能。该测试的目的是确认 TVS 二极管的漏电流在整个系统环境温度范围内没有造成显著的误差。测试结果表明,在整个

温度范围内,所有保护电路 (包括 TVS 二极管和限流电阻)测得的精度 (<±0.05%)均符合预期的精度要求 (±0.5%)。



RTD = 100  $\Omega$  时的 RTD 测量精度 (0°C)



RTD = 400 Ω 时的 RTD 测量精度 (850°C)

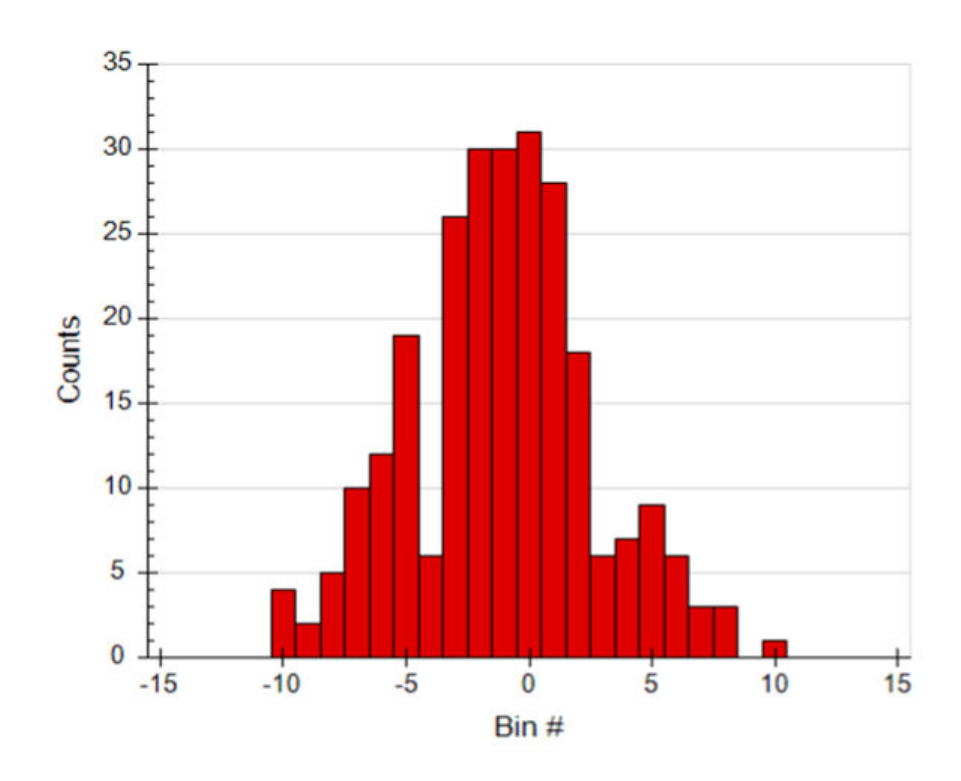


#### 在硬件上测得的分辨率

下一个图像展示了使用德州仪器 (TI) 双向 TVS 二极管 TVS1401 测量的有效位数 (ENOB) 和无噪声分辨率。该测试表明,保护电路对 ADC 噪声性能没有显著影响。

表标题

.54.54.00							
测量结果	ENOB (位)	无噪声分辨率 (位)					
高温 (+85°C)	21.2	18.8					
室温 (+25°C)	21.3	19.0					
低温 ( - 40°C)	21.5	19.1					
测试条件:低侧基准,采用 TVS1401 保护解决方案的 3 线 RTD。							



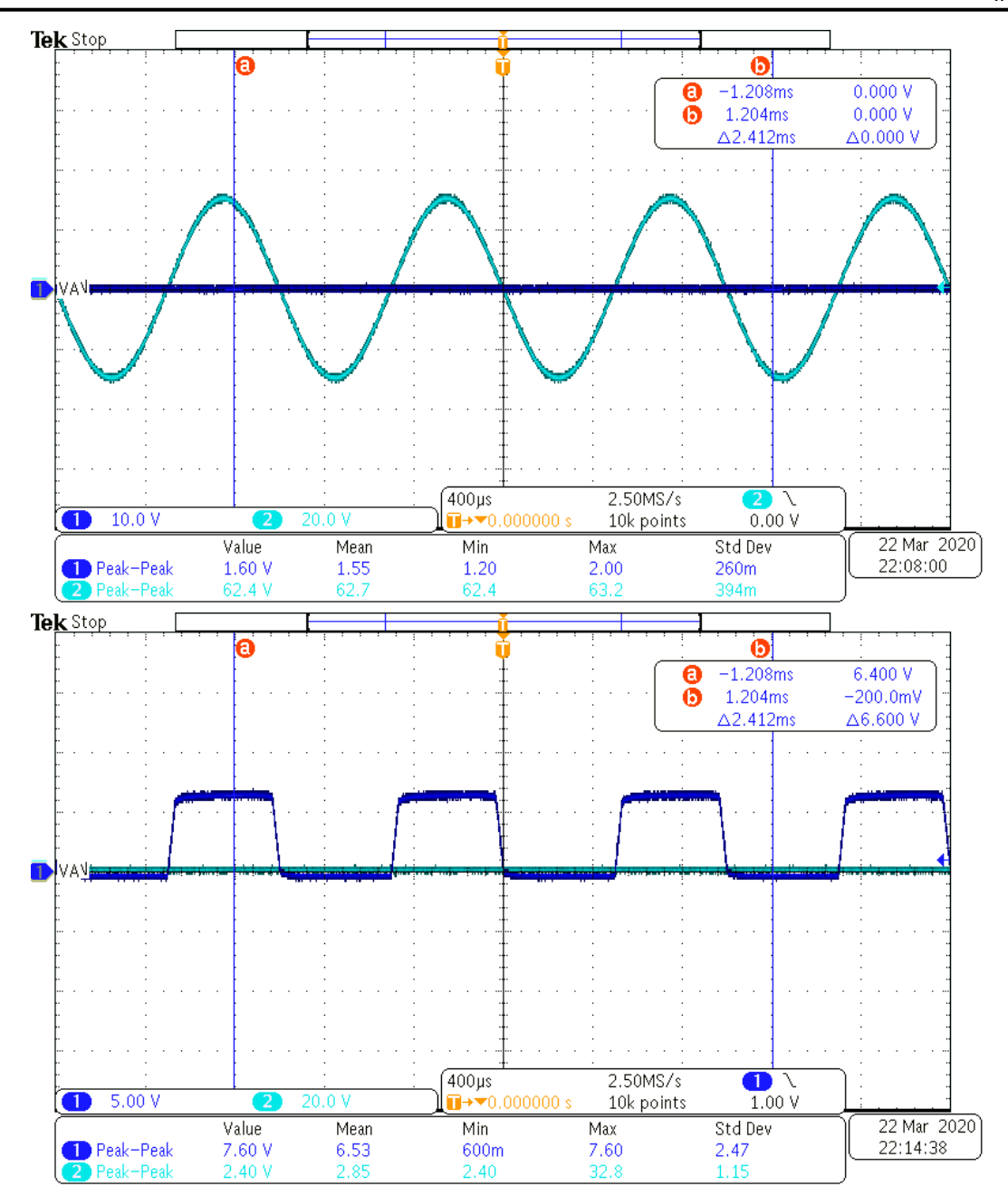
Channel	Samples	Mean	Std Dev	Pk-to-Pk	ENOB	NFB
ADC0	256	1679321.4	6.9	38	21.2	18.8

+85°C 下采用 TVS1401 且 RTD = 100 Ω 时测得的分辨率

#### ADC 输入过压条件

此电路使用过应力直流信号进行了测试和验证。为观察保护电路的工作效果,向 EOS 测试板的输入端施加了过应力正弦波信号 ( $\pm$ 60V $_{peak-peak}$ )。IDAC 通道输入端的仿真 EOS 信号和钳位波形展示了在 ADS124S08 的 AIN5 输入端捕获的钳位波形。外部 TVS 二极管已导通,过驱动信号被钳位在 -200mV 和  $\pm$ 6.4V 之间。请注意,钳位波形是在 IDAC 通道输入端 (AIN5) 上捕获的,因此 R $_1$  的电阻值受到 ADS124S08 顺从电压限制的影响。 ADS124S08 其他通道上的 R $_{fit}$  电阻器不受顺从电压的限制,因此使用了较大的 R $_{fit}$  电阻值来限制 ADC 输入端的故障电流,并将过压正弦波信号钳位到小于 ADS124S08 上  $\pm$ 5.3V 的绝对最大输入电压。ADC 器件针对外部电过应力信号受到了有效的保护。





IDAC 通道输入端的仿真 EOS 信号和钳位波形

## 设计中采用的器件

器件	主要特性	链接	其他可能的器件
ADS124S08	具有 PGA 和电压基准的低功耗、低噪声、24 位、4kSPS、12 通道 $\Delta$ - $\Sigma$ ADC	ADS124S08	ADC
ADS124S06	具有 PGA 和电压基准的低功耗、低噪声、24 位、4kSPS、6 通道 $\Delta$ - $\Sigma$ ADC	ADS124S06	ADC
TVS1401	14V 双向平缓钳位浪涌保护器件	TVS1401	电路保护

### 重要声明和免责声明

TI"按原样"提供技术和可靠性数据(包括数据表)、设计资源(包括参考设计)、应用或其他设计建议、网络工具、安全信息和其他资源,不保证没有瑕疵且不做出任何明示或暗示的担保,包括但不限于对适销性、某特定用途方面的适用性或不侵犯任何第三方知识产权的暗示担保。

这些资源可供使用 TI 产品进行设计的熟练开发人员使用。您将自行承担以下全部责任:(1) 针对您的应用选择合适的 TI 产品,(2) 设计、验证并测试您的应用,(3) 确保您的应用满足相应标准以及任何其他功能安全、信息安全、监管或其他要求。

这些资源如有变更,恕不另行通知。TI 授权您仅可将这些资源用于研发本资源所述的 TI 产品的应用。严禁对这些资源进行其他复制或展示。您无权使用任何其他 TI 知识产权或任何第三方知识产权。您应全额赔偿因在这些资源的使用中对 TI 及其代表造成的任何索赔、损害、成本、损失和债务,TI 对此概不负责。

TI 提供的产品受 TI 的销售条款或 ti.com 上其他适用条款/TI 产品随附的其他适用条款的约束。TI 提供这些资源并不会扩展或以其他方式更改 TI 针对 TI 产品发布的适用的担保或担保免责声明。

TI 反对并拒绝您可能提出的任何其他或不同的条款。

邮寄地址: Texas Instruments, Post Office Box 655303, Dallas, Texas 75265 Copyright © 2024,德州仪器 (TI) 公司